

Numerical Analysis Final Report

21600372 송윤경

1. Cruciform rocket system

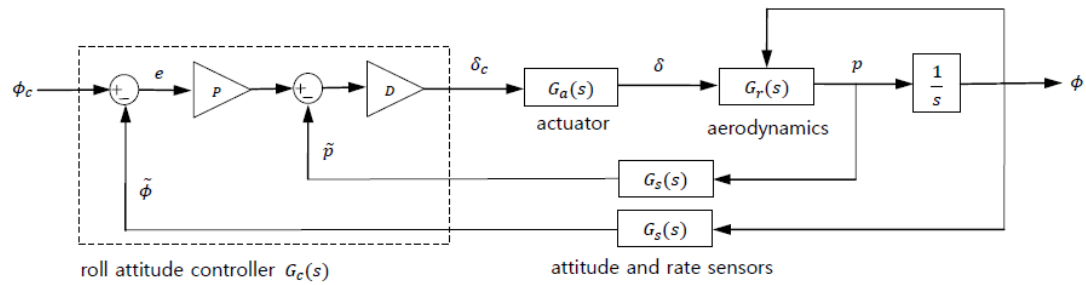


Figure 1. Cruciform Rocket System Block Diagram

ODE solver 를 통해 제어하고자 하는 Cruciform Rocket System 시스템이다.

2. Simulink

A. Simulink Block diagram

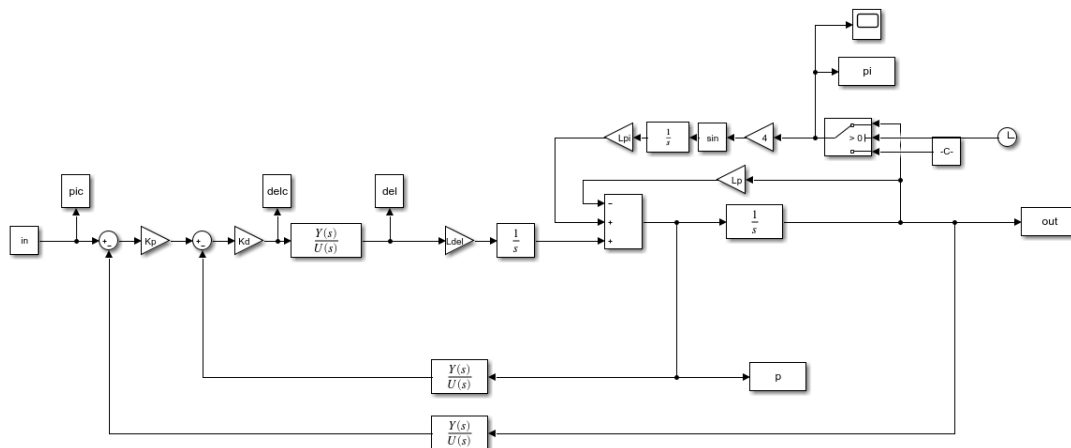


Figure 2. Cruciform Rocket System Block Diagram in Simulink

시뮬레이션을 하기 위해 동적시스템이 반영된 G_r 의 전달함수 부분을 분리하여 시뮬레이션을 진행하였다. 주어진 시스템이 미분한 형태였으므로 $\dot{p}(t)$ 을 적분하고 각각의 입력에 따른 미분적분의 형태를 전달함수로 바꿔 피드백을 진행하였다.

B. Simulink result

- $\phi_c = \frac{\pi}{4}$ 인 경우 simulation 결과

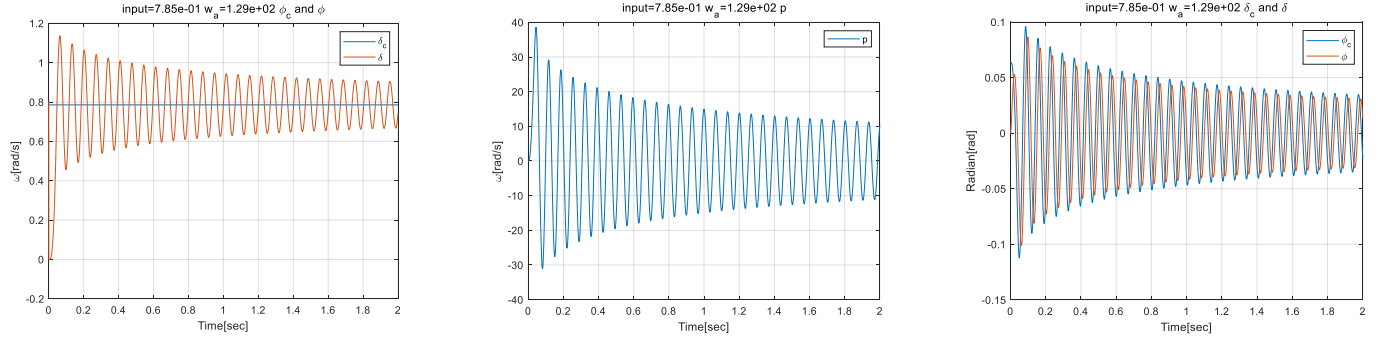


Figure 3. $\omega_a = 20.5 \text{ [rad/s]}$, $\phi_c = \frac{\pi}{4}$

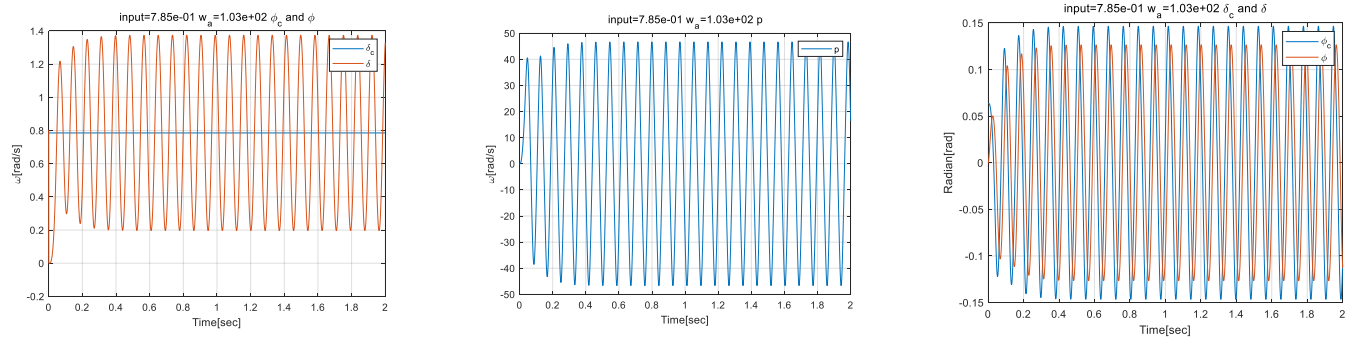


Figure 4. $\omega_a = 16.4 \text{ [rad/s]}$, $\phi_c = \frac{\pi}{4}$

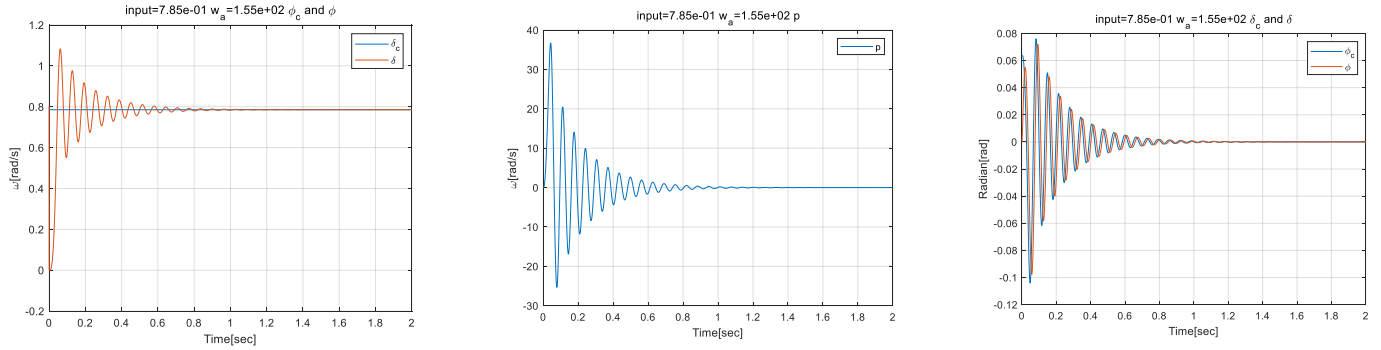


Figure 5. $\omega_a = 24.6 \text{ [rad/s]}$, $\phi_c = \frac{\pi}{4}$

- $\phi_c = \frac{\pi}{8}$ 인 경우 simulation

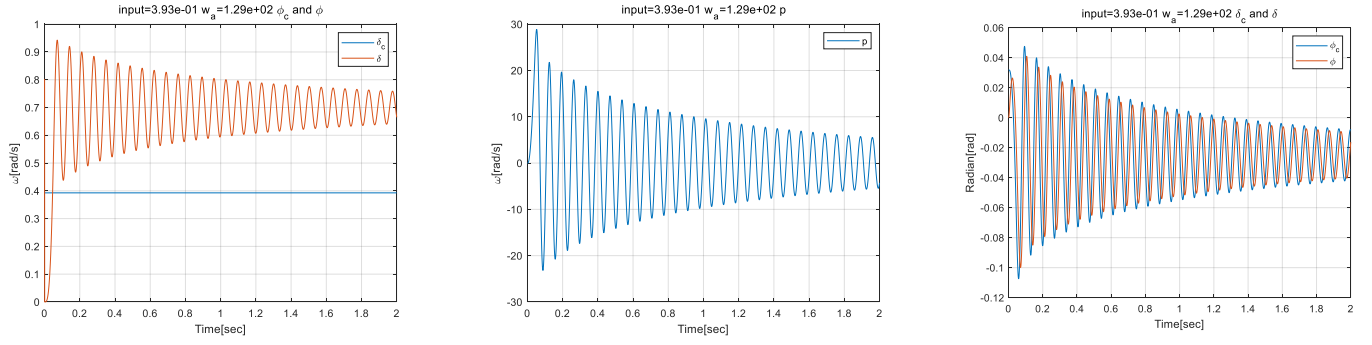


Figure 6. $20.5[\text{rad/s}]$, $\phi_c = \frac{\pi}{8}$

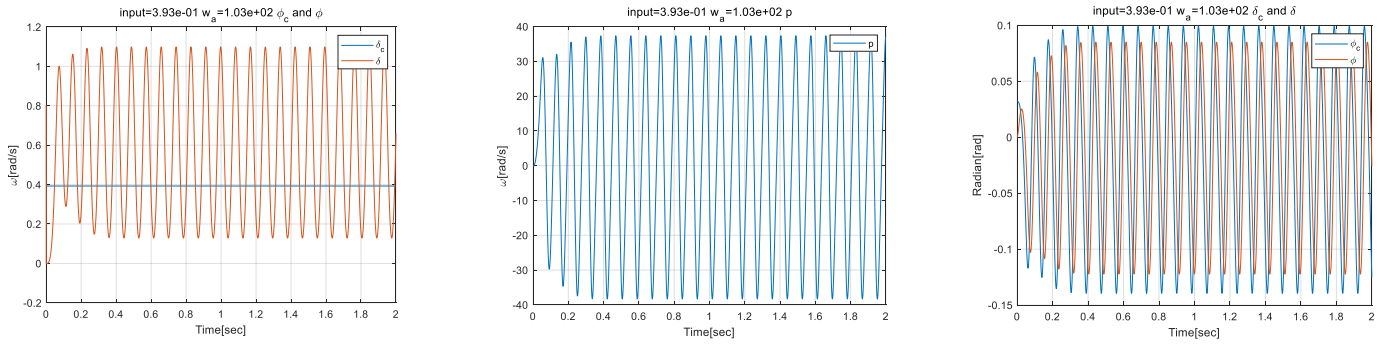


Figure 7. $\omega_a = 16.4[\text{rad/s}]$, $\phi_c = \frac{\pi}{8}$

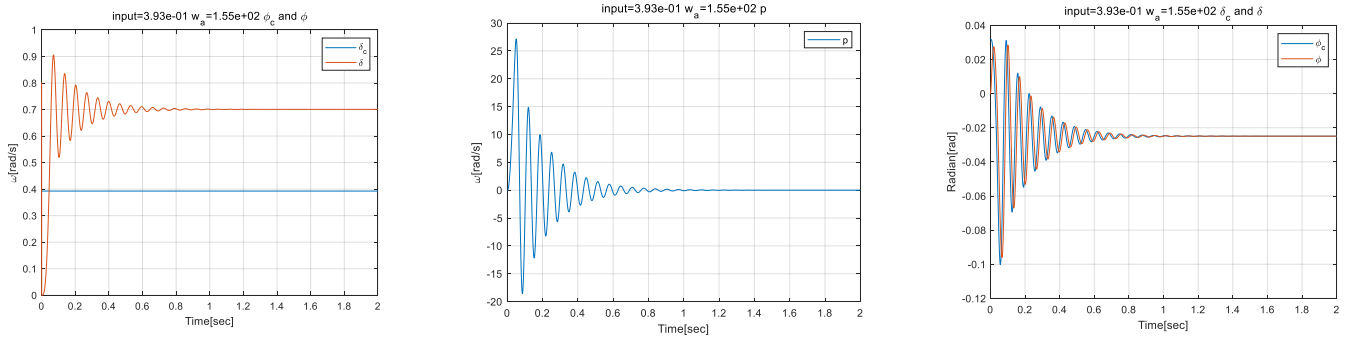


Figure 8. $\omega_a = 24.6[\text{rad/s}]$, $\phi_c = \frac{\pi}{8}$

- $\phi_c = 0$ 인 경우 simulation

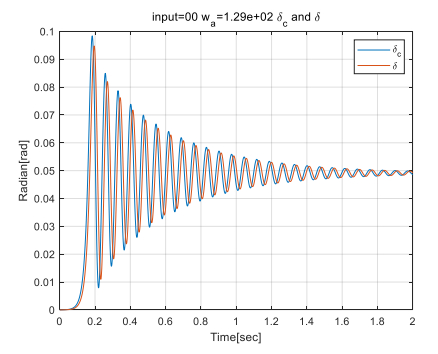
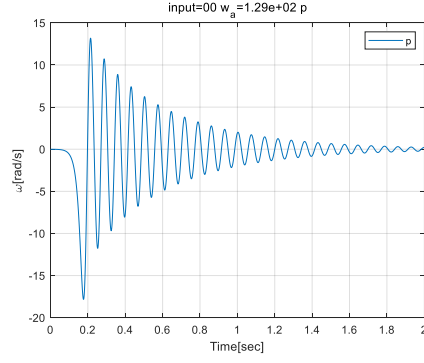
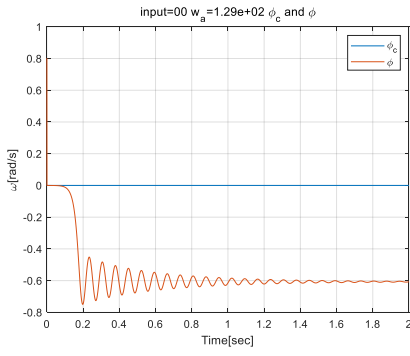


Figure 6. $\omega_a = 20.5[\text{rad/s}]$, $\phi_c = 0$

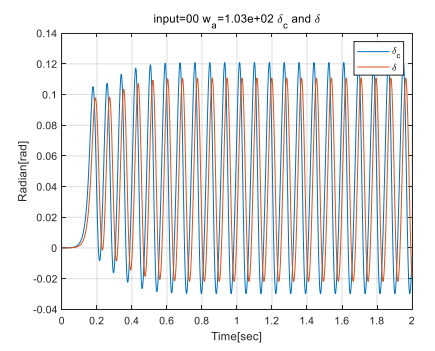
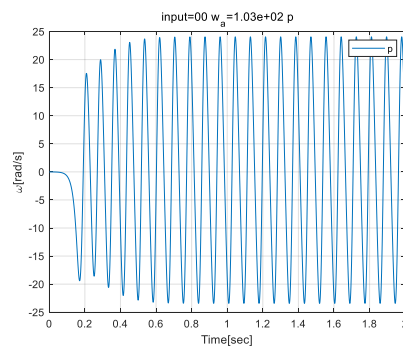
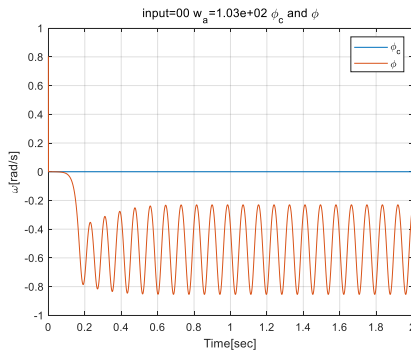


Figure 6. $\omega_a = 16.4[\text{rad/s}]$, $\phi_c = 0$

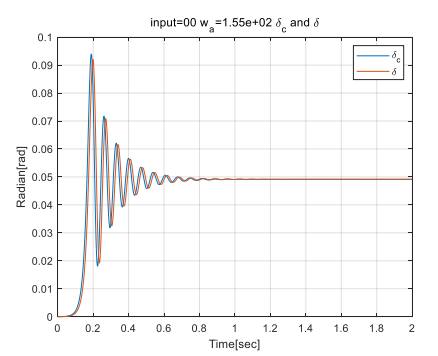
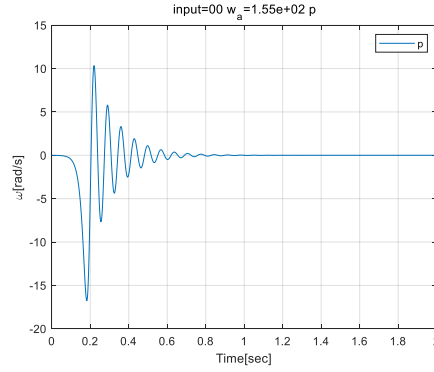
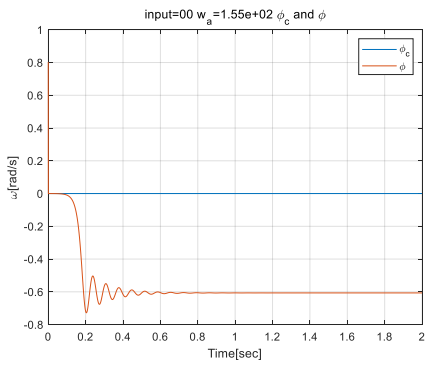


Figure 6. $\omega_a = 24.6[\text{rad/s}]$, $\phi_c = 0$

3. C-programing

- Main

```

1  /*-----
2      2020-1 Numerucal Analysis
3      Final: ODE SOLVER
4      21600372 Yoonkyoung Song
5  -----*/
6
7  #include "myInclude.h"
8  #include "myUserDefInclude.h"
9  #include "NAFinal.h"
10
11
12  int sysnum = 8;
13  int iter = 0;
14
15  Matrix sys1A, sys1B;
16  Matrix sys2A, sys2B;
17  Matrix dstate, state;
18  Matrix beforeState, beforedstate;
19  Matrix k;
20  Matrix delC;
21
22  double t[DATANUM] = { 0.0 };
23  double phic[DATANUM] = { INITpic };
24  double delc[DATANUM] = { 0.0 };
25  double del[DATANUM] = { 0.0 };
26  double p[DATANUM] = { 0.0 };
27  double phi[DATANUM] = { 0.0 };
28
29
30 void main()
31 {
32     initializeSystem(&sys1A, &sys1B, &sys2A, &sys2B);
33     initializeState(&dstate, &state, &beforeState, &beforedstate, &delC, &k, sysnum);
34
35     do {
36
37         input(phic, iter);
38
39
40         system4(&sys1A, &sys1B, &dstate, &state, &beforeState, &beforedstate);
41         system1(&dstate, &state, &beforeState, phic, &delC, iter);
42         system2(&sys2A, &sys2B, &dstate, &state, &delC);
43         systme3(&dstate, &state, &beforeState);
44
45
46         storageData(&state, &beforeState, &dstate, &beforedstate, &delC, delc, del, p, phi, iter);
47
48         integration(&dstate, &state, &k, RK4, &iter);
49         checkStop(t, iter);
50     } while (t[iter]<tf);
51
52     WriteTxtFile("in0_wa24.txt", DATANUM, t, phic, delc, del, p, phi);
53
54 }
55

```

Figure 7. main 문

Iteration 이 증가함에 따라 Runge-Kutta integration 이 진행된다. 초기값일 때 피드백 시스템부터 시작하여 각 시스템에서 dstate 를 계산하고 그 계산결과를 integration 에서 한 번에 Runge-Kutta 4 order 를 사용하여 수치적으로 적분한다.

| | | | | | |
|-------|-----|-----------------|--------|-----|------------------|
| state | [0] | δ | dstate | [0] | $\dot{\delta}$ |
| | [1] | $\dot{\delta}$ | | [1] | $\ddot{\delta}$ |
| | [2] | ϕ | | [2] | $\dot{\phi}$ |
| | [3] | $\dot{\phi}$ | | [3] | $\ddot{\phi}$ |
| | [4] | \tilde{p} | | [4] | \tilde{p}' |
| | [5] | \tilde{p}' | | [5] | \tilde{p}'' |
| | [6] | $\tilde{\phi}$ | | [6] | $\tilde{\phi}$ |
| | [7] | $\tilde{\phi}'$ | | [7] | $\tilde{\phi}''$ |

Table 1. 변수 정의

- Source file

```

1  #include "NAfinal.h"
2
3  void initializeState(Matrix* dstate, Matrix* state, Matrix* beforeState, Matrix* beforestate, Matrix* dleC, Matrix* k, int sysnum) {
4
5      *dstate = createZerosMathrix(4, sysnum);
6      *state = createZerosMathrix(4, sysnum);
7      *beforeState = createZerosMathrix(4, sysnum);
8      *beforestate = createZerosMathrix(4, sysnum);
9      *k = createZerosMathrix(4, sysnum);
10
11      *dleC = createZerosMathrix(4, 1);
12
13      state->at[0][2] = INITpic + 1.0 * PI / 180;
14  }
15
16  void initializeSystme(Matrix* sys1A, Matrix* sys1B, Matrix* sys2A, Matrix* sys2B) {
17
18      *sys1A = createZerosMathrix(2, 2);
19      *sys1B = createZerosMathrix(2, 1);
20
21      *sys2A = createZerosMathrix(2, 2);
22      *sys2B = createZerosMathrix(2, 1);
23
24      sys1A->at[0][0] = 0;
25      sys1A->at[0][1] = 1;
26      sys1A->at[1][0] = pow(Ws, 2) * (-1);
27      sys1A->at[1][1] = Zs * Ws * (-2);
28
29      sys1B->at[0][0] = 0;
30      sys1B->at[1][0] = pow(Ws, 2);
31
32      sys2A->at[0][0] = 0;
33      sys2A->at[0][1] = 1;
34      sys2A->at[1][0] = pow(Wa, 2) * (-1);
35      sys2A->at[1][1] = Za * Wa * (-2);
36
37      sys2B->at[0][0] = 0;
38      sys2B->at[1][0] = pow(Wa, 2);
39  }
40
41  void input(double pic[], int iter) {
42
43      pic[iter] = INITpic;
44  }
45  }
46

```

Figure 8. initial value setting

시스템이 돌아가면서 사용되는 변수들을 모두 초기화 한다.

```

47
48  void system1(Matrix* dstate, Matrix* state, Matrix* beforeState, double input[], Matrix* delC, int iter) {
49
50      for (int i = 0; i < 4; i++) {
51          delC->at[i][0] = Kd * (input[iter] - state->at[i][6]) - state->at[i][4];
52      }
53  }
54
55  void system2(Matrix* A, Matrix* B, Matrix* dstate, Matrix* state, Matrix* delC) {
56
57      for (int i = 0; i < 4; i++) {
58          dstate->at[i][0] = state->at[i][1];
59          dstate->at[i][1] = A->at[1][0] * state->at[i][0] + A->at[1][1] * state->at[i][1] + B->at[1][0] * delC->at[i][0];
60      }
61  }
62
63  void system3(Matrix* dstate, Matrix* state, Matrix* beforeState) {
64
65      for (int i = 0; i < 4; i++) {
66          dstate->at[i][2] = state->at[i][3];
67          dstate->at[i][3] = Lpi * sin(4 * beforeState->at[i][2]) - Lp * state->at[i][3] + Ldel * state->at[i][0];
68      }
69  }
70
71  void system4(Matrix* A, Matrix* B, Matrix* dstate, Matrix* state, Matrix* beforeState, Matrix* beforestate) {
72
73      for (int i = 0; i < 4; i++) {
74          dstate->at[i][4] = state->at[i][5];
75          dstate->at[i][5] = A->at[1][0] * state->at[i][4] + A->at[1][1] * state->at[i][5] + B->at[1][0] * state->at[i][3];
76          dstate->at[i][6] = state->at[i][7];
77          dstate->at[i][7] = A->at[1][0] * state->at[i][6] + A->at[1][1] * state->at[i][7] + B->at[1][0] * state->at[i][2];
78      }
79  }
80
81  }
82
83

```

Figure 9. update dstate using state

2 차 시스템을 벡터를 사용하여 1 차 시스템으로 근사한 후 시스템의 상태변수를 사용하여 시스템을 정의하였다.

```

97 void integration(Matrix* dstate, Matrix* state, Matrix* k, int method, int* iter) {
98
99     switch(method){
100
101     case 1:
102         Euler(dstate, state);
103
104     case 2:
105
106         RungeKutta4(dstate, state, k);
107
108     default :
109         break;
110     }
111
112     *iter += 1;
113 }
114
115
116
117 void Euler(Matrix* dstate, Matrix* state) {
118
119     for (int i = 0; i < (*dstate).cols; i++) {
120
121         state->at[0][i] = state->at[0][i] + ts * dstate->at[0][i];
122     }
123 }
124
125
126
127 void RungeKutta4(Matrix* dstate, Matrix* state, Matrix* k) {
128
129     for (int j = 0; j < (*dstate).cols/2; j++) {
130
131         for (int i = 0; i < 4; i++) {
132             k->at[i][2 * j] = ts * dstate->at[i][2 * j + 1];
133         }
134
135         dstate->at[0][2 * j] = dstate->at[0][2 * j] + (k->at[0][2 * j] + 2 * k->at[1][2 * j] + 2 * k->at[2][2 * j] + k->at[3][2 * j]) / 6;
136         dstate->at[1][2 * j] = dstate->at[0][2 * j] + 0.5 * k->at[0][2 * j];
137         dstate->at[2][2 * j] = dstate->at[0][2 * j] + 0.5 * k->at[1][2 * j];
138         dstate->at[3][2 * j] = dstate->at[0][2 * j] + k->at[2][2 * j];
139
140         state->at[0][2 * j + 1] = state->at[0][2 * j];
141         state->at[1][2 * j + 1] = state->at[1][2 * j];
142         state->at[2][2 * j + 1] = state->at[2][2 * j];
143         state->at[3][2 * j + 1] = state->at[3][2 * j];
144     }
145
146     for (int j = 0; j < (*dstate).cols / 2; j++) {
147
148         for (int i = 0; i < 4; i++) {
149             k->at[i][2 * j] = ts * dstate->at[i][2 * j];
150         }
151
152         state->at[0][2 * j] = state->at[0][2 * j] + (k->at[0][2 * j] + 2 * k->at[1][2 * j] + 2 * k->at[2][2 * j] + k->at[3][2 * j]) / 6;
153         state->at[1][2 * j] = state->at[0][2 * j] + 0.5 * k->at[0][2 * j];
154         state->at[2][2 * j] = state->at[0][2 * j] + 0.5 * k->at[1][2 * j];
155         state->at[3][2 * j] = state->at[0][2 * j] + k->at[2][2 * j];
156     }
157 }
158
159
160
161
162
163

```

Figure 9. update dstate using state

Runge-Kutta 4th order 를 사용하여 ODE 를 푼다. State 가 미분한 상태까지 두 개씩 돌아가므로 각각의 state 를 update 하기 위하여 두 번 미분한 datae 의 홀수 index 를 사용하여 datae 의 짝수 index 와 state 의 홀수 index 를 업데이트 해준다. 그 후에 업데이트된 datate 의 짝수 index 를 사용하여 satae 의 짝수 index 를 업데이트 해주는 방식으로 진행된다.

4. Result

- $\phi_c = \frac{\pi}{4}$ 인 경우 결과

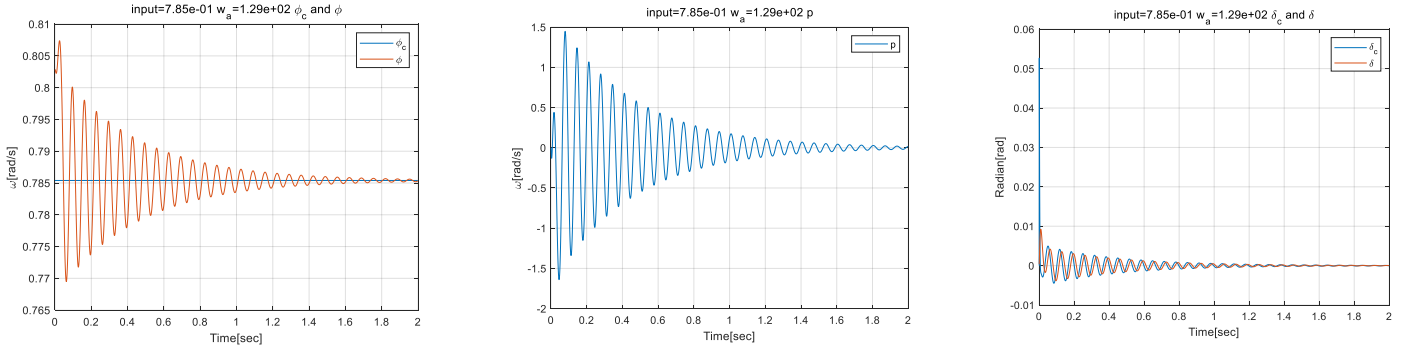


Figure 3. $\omega_a = 20.5[\text{rad/s}]$, $\phi_c = \frac{\pi}{4}$

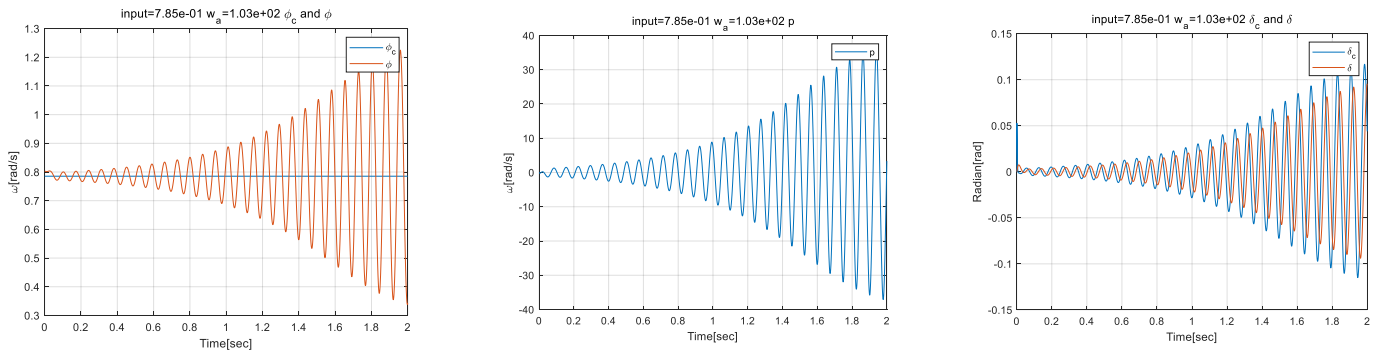


Figure 4. $\omega_a = 16.4[\text{rad/s}]$, $\phi_c = \frac{\pi}{4}$

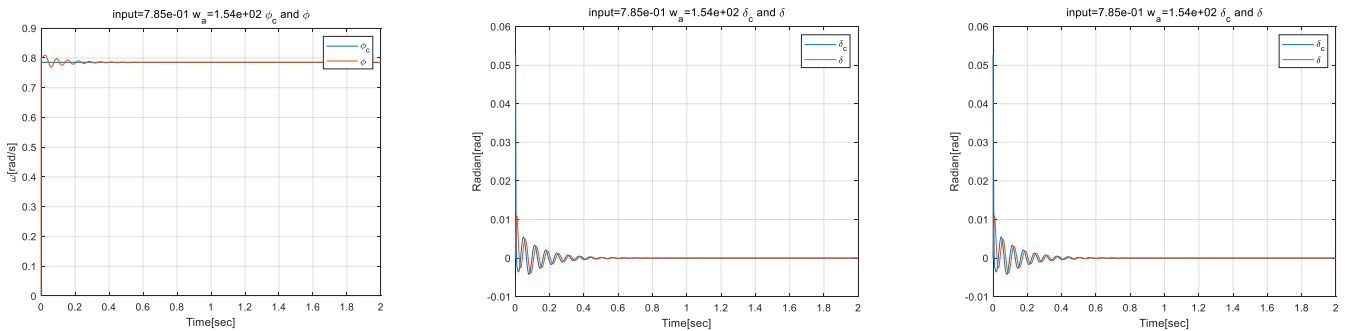


Figure 5. $\omega_a = 24.6[\text{rad/s}]$, $\phi_c = \frac{\pi}{4}$

시뮬레이션 결과와 비교했을 때 다른 경우들에 비해 경향성이 다르게 나타난다. 입력이 $\frac{\pi}{4}$ 인 경우에 시뮬레이션에 비해 진동하는 크기가 매우 작고 setting time 이 시뮬레이션 보다 빠르게 나타난다. $\omega_a = 16.4[\text{rad/s}]$ 일 때는 다른 시스템에 비해 band width 가 작아 수렴하지 못하고 발산함을 보인다. 하지만 다른 두 경우, $\omega_a = 20.5[\text{rad/s}]$ 와 $\omega_a = 24.6[\text{rad/s}]$ 일 때는 출력이 입력과 같은 $\frac{\pi}{4} = 0.78539$ 로 수렴함을 보인다. ω_a 가 클수록 시스템의 margin 이 커져 시스템의 진동이 작아지고 steady state 상태에 빠르게 도달한다.

- $\phi_c = \frac{\pi}{8}$ 인 경우 결과

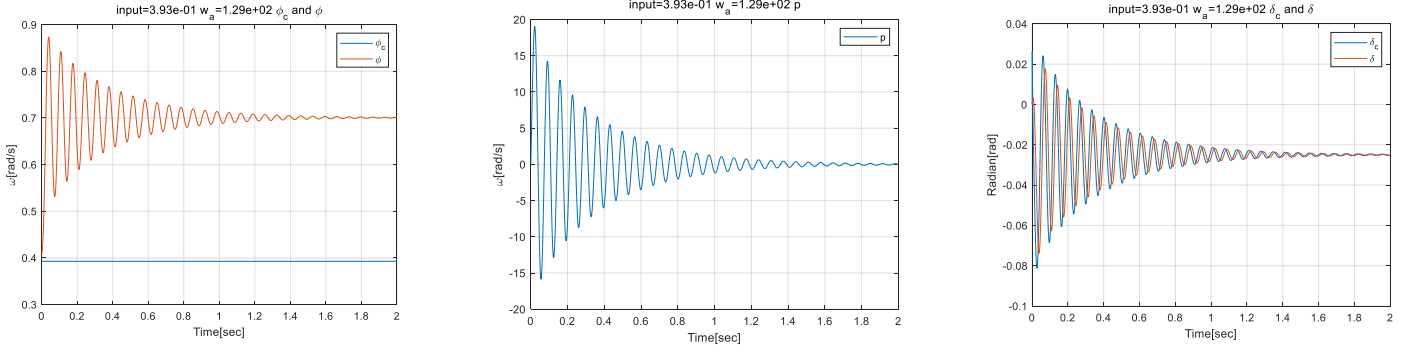


Figure 6. $\omega_a = 20.5[\text{rad/s}]$, $\phi_c = \frac{\pi}{8}$

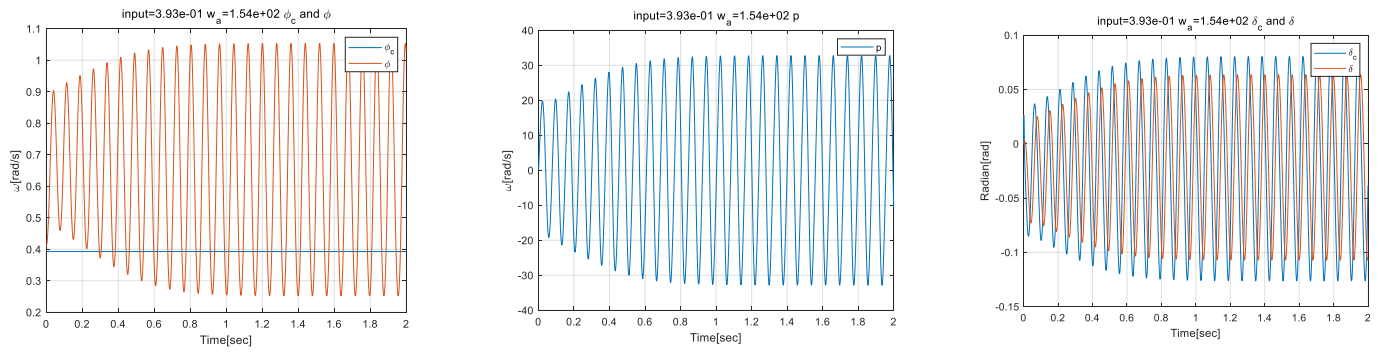


Figure 7. $\omega_a = 16.4[\text{rad/s}]$, $\phi_c = \frac{\pi}{8}$

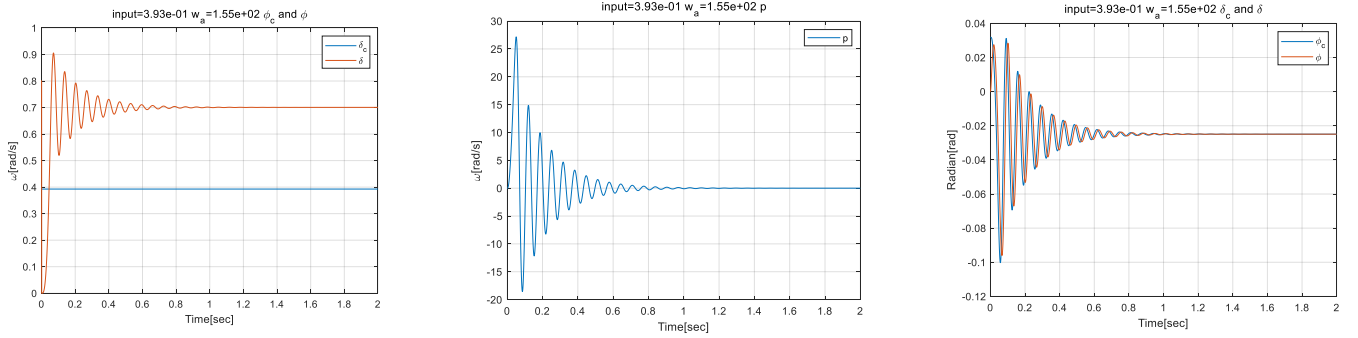
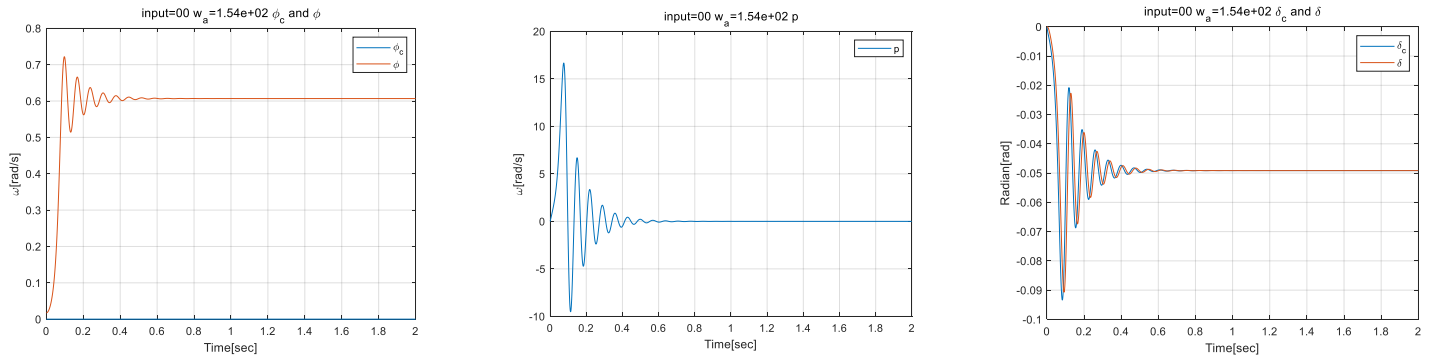
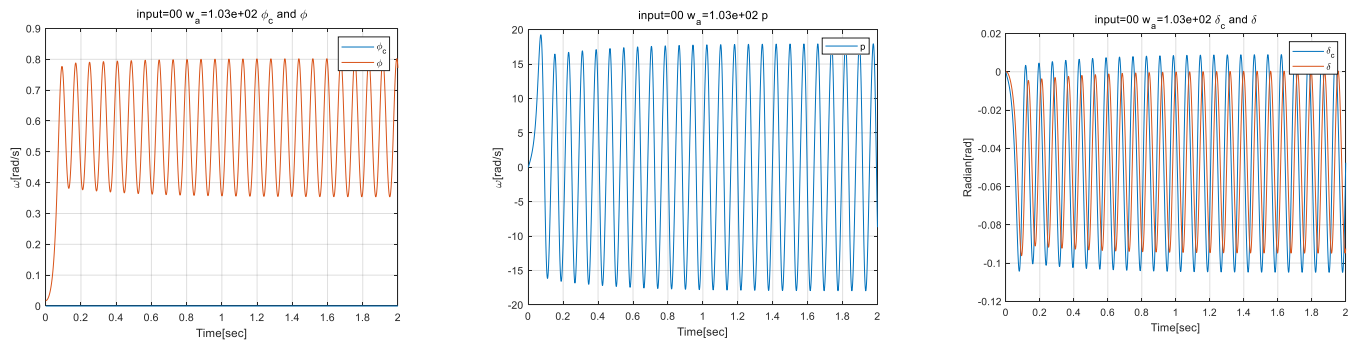
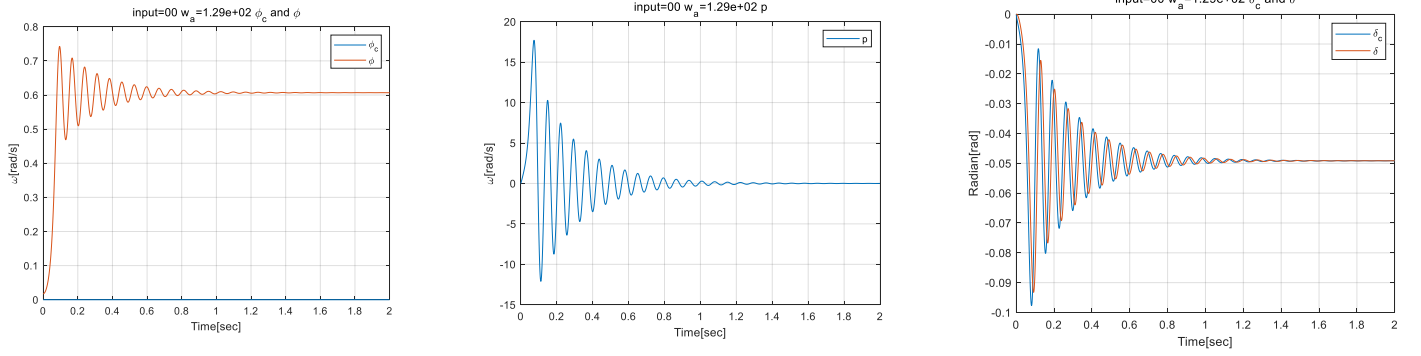


Figure 8. $\omega_a = 24.6[\text{rad/s}]$, $\phi_c = \frac{\pi}{8}$

$\phi_c = \frac{\pi}{8}$ 인 경우 시뮬레이션과 비슷한 결과를 보이며, 진동의 크기 및 수렴과 발산의 형태는 동일하나 steady state 상태에 도달하는 시간에서 차이를 보인다. 그러나 출력이 입력인 $\frac{\pi}{8}=0.3927$ 에 근사하지 않고 0.7006 에 근사한다. 이 경우 또한 ω_a 가 커짐에 따른 분석은 앞과 동일하며, $\omega_a = 16.4[\text{rad/s}]$ 인 경우에는 발산하지 않고 수렴하는 정도가 일정하여 일정한 크기의 진동이 발생하는 출력파형이 나타난다.

- $\phi_c = 0$ 인 경우 결과



$\phi_c = 0$ 인 경우는 진동의 크기와 steady state 상태에 도달하는 시간은 비슷하나 출력의 부호가 반대됨을 보인다. 이 경우에도 위의 분석과 마찬가지로 $\omega_a = 16.4[\text{rad/s}]$ 일 때는 일정한 크기로 진동을 지속하나 다른 두 경우에는 0.6067로 수렴한다.